— КИНЕТИКА И МЕХАНИЗМ ХИМИЧЕСКИХ РЕАКЦИЙ, КАТАЛИЗ ———

УДК 541.124:547.235.5:547.772.1

КИНЕТИКА ТЕРМИЧЕСКОГО РАСПАДА N-АЛЛИЛЬНЫХ ПРОИЗВОДНЫХ 7*H*-ДИФУРАЗАНОФУРОКСАНОАЗЕПИНА И 7*H*-ТРИФУРАЗАНОАЗЕПИНА

© 2023 г. А. И. Казаков^{1*}, Д. Б. Лемперт¹, А. В. Набатова¹, Е. Л. Игнатьева¹, Д. В. Дашко², В. В. Разносчиков¹, Л. С. Яновский^{1,3}

 1 Институт проблем химической физики Российской академии наук, Черноголовка, Россия $^{2}CKTБ$ "Технолог", Санкт-Петербург, Россия

³Национальный исследовательский университет "МЭИ", Москва, Россия *E-mail: akazakov@icp.ac.ru

Поступила в редакцию 02.03.2022; после доработки 16.03.2022; принята в печать 21.03.2022

Изучена термическая стабильность N-аллильных производных 7H-дифуразанофуроксаноазепина и 7H-трифуразаноазепина в неизотермическом и изотермическом режимах. Определены формально-кинетические закономерности распада и температурные зависимости констант скоростей реакций. Сопоставлена термическая стабильность аллильных и аминных производных азепинов.

Ключевые слова: 7H-дифуразанофуроксаноазепин, 7H-трифуразаноазепин, N-аллильные замещенные, термический распад, кинетика.

DOI: 10.31857/S0207401X23050047, EDN: GCPUWH

ВВЕДЕНИЕ

Химия высокоэнтальпийных азотсодержащих соединений на основе N-гетероциклов в последнее десятилетие развивается стремительными темпами [1–10]. Много внимания уделено и производным азепина с фуразановыми кольцами [11–16]. Область применения этих соединений — в основном энергоемкие композиции, взрывчатые вещества, пороха, ракетные топлива, газогенерирующие композиции. В 2019 г. была опубликована работа о перспективности использования высокоэнтальпийных азотсодержащих соедине-

ний в качестве диспергаторов газогенерирующих твердых топлив, применяемых в газогенераторных двигателях [17].

Недавно [18] были синтезированы соединения 7-аллил-7H-дифуразано[3,4-b:3',4'-f]фуроксано[3", 4"-d]азепин (**Az(O)All**) и 7-аллил-7H-трифуразано[3,4-b:3',4'-d:3",4"-f]азепин (**AzAll**), близкие по структуре к 7-амино-7H-дифуразано[3,4-b:3',4'-f]фуроксано[3",4"-d]азепину (**Az(O)NH**₂ и 7-амино-7H-трифуразано[3,4-b:3',4'-d:3",4"-f]азепину (**AzNH**₂) [19].

Были экспериментально определены их молекулярная структура, энтальпии образования, ос-

новные физические свойства, чувствительность к удару и трению, оценена баллистическая эффек-

тивность этих соединений как компонентов смесевых твердых топлив (СТТ) и диспергаторов твердых топлив для газогенераторных двигателей. Было показано, что использовать AzAll или Az(O)All в качестве энергетической высокоэнтальпийной добавки к СТТ в композициях на основе перхлората аммония, как делали успешно с другими высокоэнтальпийными компонентами [20, 21], характеризующимися низкими значениями коэффициента насыщенности кислородом α $(\alpha = 2O/(4C + H))$ малоэффективно из-за весьма низкой величины α (0.15 и 0.20 соответственно). Но в то же время было показано, что как диспергаторы твердых топлив для газогенерирующих композиций AzAll и Az(O)All проявляют практически такую же баллистическую эффективность. что и широко изученное в настоящее время соединение **Az(O)NH**₂ [19].

Одно из существенных отличий газогенерирующих топлив от СТТ – наличие более жестких требований к термической стабильности [22]. Первой работой по исследованию термостабильности диспергаторов на основе производных азепина было изучение термостабильности Аz(O)NH2 в температурном интервале 190.8-231.9°C [19]. Исследования проводили как для соединения Az(O)NH₂ в индивидуальном состоянии, так и для топливных композиций " $Az(O)NH_2$ + изопреновый каучук СКИ-3". Установлено, что при температуре 200°C разложение на 1% индивидуального $Az(O)NH_2$ происходит в течение 95 мин, а в смеси с каучуком скорость распада увеличивается в \sim 7.5 раз. Настоящая работа посвящена изучению кинетики термораспада соединений **AzAll** и **Az(O)All**.

ЭКСПЕРИМЕНТАЛЬНАЯ ЧАСТЬ

Соединения **AzAll** и **Az(O)All** получали из 7H-трифуразано[3,4-b:3',4'-f:3",4"-d]-азепина и 7H-дифуразано[3,4-b:3',4'-f]фуроксано[3",4"-d]азепина соответственно по реакции с бромистым аллилом. Высокая чистота продуктов подтверждается результатами элементного анализа и данными ЯМР-спектроскопии [17].

Исследование кинетики тепловыделения при термическом превращении образцов **AzAll** и **Az(O)All** в изотермических условиях проводили на автоматическом дифференциальном микрокалориметре ДАК-1-2 [23] в стеклянных запаянных ампулах внутренним объемом около 1 см³, не имеющих холодных частей, что позволяло сохранять все продукты превращения в зоне реакции. Навеска исследуемых веществ составляла примерно 20 мг, а величина отношения массы навески к свободному объему ампулы — примерно 5 · 10⁻³ г/см³ при всех указанных температурах испытаний.

Численным интегрированием от нулевого до текущего момента времени t экспериментальной

зависимости скорости тепловыделения от времени находили величину количества тепла Q_t , выделившегося к данному моменту времени

$$Q_t = \int_0^t (dQ/dt) dt,$$

где dQ/dt — скорость тепловыделения, а полную теплоту реакции — интегрированием функции dQ/dt(t) до времени завершения процесса разложения:

$$\int_{0}^{\infty} \frac{dQ}{dt} dt = Q_0.$$

Глубину реакции η определяли по отношению Q_{j}/Q_{0} .

Термические превращения взрывчатых веществ (ВВ) в неизотермическом режиме изучали методами термогравиметрии (ТГ) и дифференциально-сканирующей калориметрии (ДСК) с использованием синхронного термического анализатора STA 449 F3 (Netzsch, Германия) в диапазоне температур 30-430°C в потоке газообразного аргона (40 мл/мин) и скорости нагрева 5 град/мин. Для измерений использовали стандартные корундовые тигли (V = 85 мкл, d = 6.8 мм), завальцованные крышкой с отверстием. В качестве эталона использовали пустой тигель. Взвешивание осуществляли на внутренних весах анализатора с точностью $\pm 10^{-4}$ мг. Масса навески составляла ~2 мг. Перед измерением определяли базовую линию путем построения кривой коррекции с пустыми тиглями. Анализ газов, образующихся в результате разложения образца, проводили с помощью подключенного к прибору квадрупольного масс-спектрометра.

РЕЗУЛЬТАТЫ И ИХ ОБСУЖДЕНИЕ

Кинетические закономерности тепловыделения при разложении AzAll

На рис. 1 представлены результаты по кинетике термического разложения **AzAll**, полученные методами ТГ и ДСК. На кривой ДСК при разложении **AzAll** наблюдаются два эндотермических пика. Первый из них при температуре 117.3°С отвечает плавлению соединения, теплота этого процесса равна —65.38 Дж/г. Далее с ростом температуры наблюдается только начало экзотермического процесса разложения с максимальной скоростью тепловыделения при 189°С; затем наблюдается второй эндотермический пик при температуре 248.5°С, отвечающий испарению образца с суммарным эндотермическим эффектом, равным —108.4 Дж/г. Общая потеря массы при достижении температуры 290°С составила ~98.5%.

Поскольку оценка термостабильности по кривой ДСК носит вспомогательный, качественный

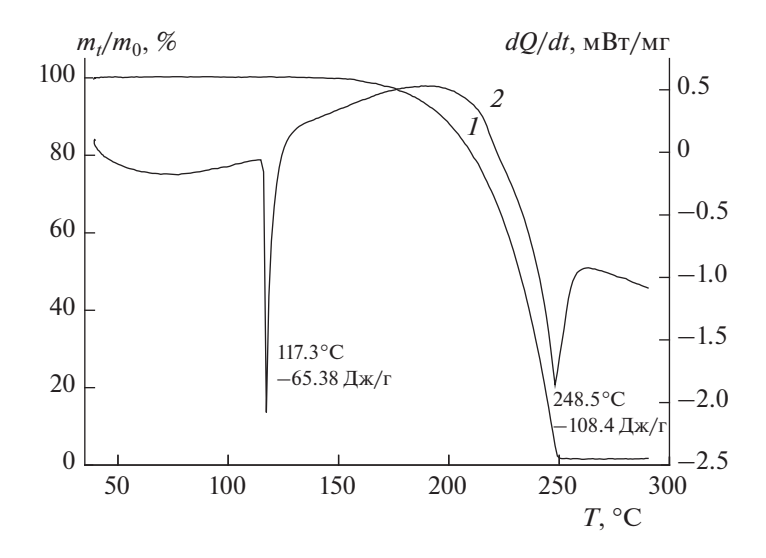


Рис. 1. Кривые $T\Gamma(1)$ и ДСК (2) при термическом разложении **AzAll**. Масса навески ~2 мг, скорость нагрева -5 К/мин, скорость продувки аргоном -40 мл/мин.

характер, для расчета реального уровня термораспада (как функции температуры и времени) необходимо было изучить кинетику реакции в изотермических условиях с определением кинетических параметров реакции, в том числе закона зависимости скорости реакции от глубины разложения и зависимости кинетических констант от температуры.

Полученные экспериментальные кривые зависимости скоростей тепловыделения при разложении соединения **AzAll** в интервале температур 230—250.0°C в изотермических условиях представлены на рис. 2.

Полный тепловой эффект реакции термического разложения **AzAll** в изотермических экспериментах в запаянных ампулах составляет около 3 кДж/г. Форма кривых зависимости скорости тепловыделения от текущей теплоты реакции с максимумом скорости при примерно 50%-ной глубине разложения (рис. 2) свидетельствует о протекании процесса разложения по закону автокаталитической реакции первого порядка:

$$dQ/dt = Q_0 k_2 (1 - \eta) (\eta + k_1/k_2),$$

где k_1 , c^{-1} — константа скорости некаталитической реакции; k_2 , c^{-1} — константа скорости каталитической реакции. Величина полной теплоты реакции разложения, Q_0 , определяется с относительной погрешностью около 3.5%, и наблюдаемая величина количества тепла, выделяемого к моменту достижения максимальной скорости реакции (рис. 2), также определяется примерно с той же величиной относительной ошибки измерения. Возможной причиной некоторого отклонения от строгого выполнения закона автокаталитической реакции первого порядка может быть

изменение свойств жидкой реакционной смеси **AzAll** (диэлектрической проницаемости, вязкости) с увеличением глубины разложения. Таким же кинетическим законом описывается и зависимость скорости термического разложения от глубины реакции при разложении соединения **Az(O)NH**₂ [19].

В интегральное уравнение зависимости текущей теплоты автокаталитической реакции первого порядка, Q_t (т.е. количества тепла, выделяемого к данному конкретному времени t), от времени входят три неизвестных параметра: полный теп-

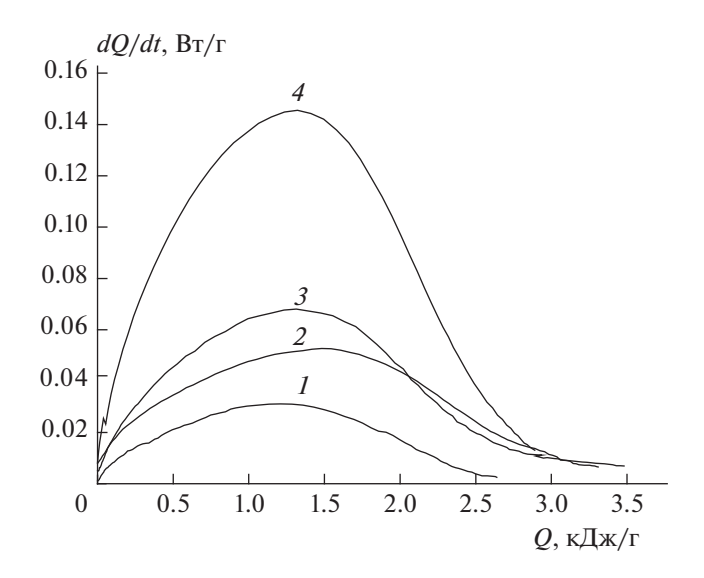


Рис. 2. Зависимость скорости тепловыделения dQ/dt от количества тепла Q_t , выделившегося к данному моменту времени, при термическом разложении соединения **AzAll** при различных температурах: I=230.4; 2=235.4; 3=241.0; 4=251.7°C.

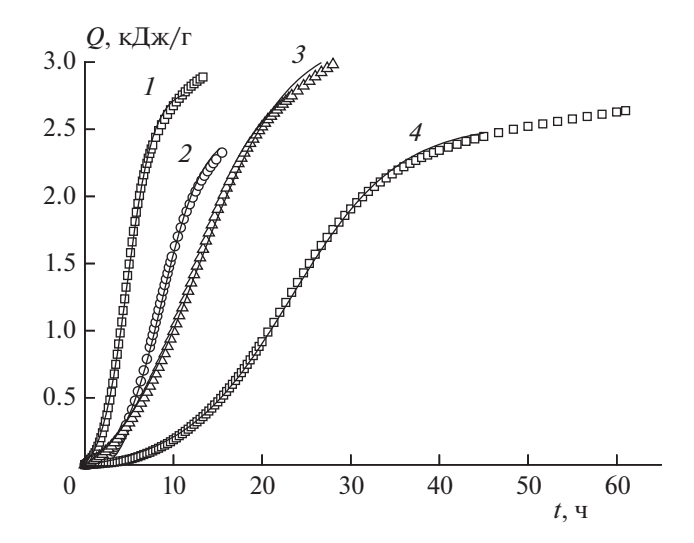


Рис. 3. Кинетические зависимости количества тепла Q_t , выделившегося при разложении соединения **AzAll**, от времени t при различных температурах: I - 230.4; 2 - 235.4; 3 - 241.0; 4 - 251.7 °C. Точки — эксперимент, сплошные кривые — расчет по уравнению (1).

ловой эффект реакции Q_0 , и константы скорости некаталитической, k_1 , и каталитической, k_2 , сталий реакции:

$$Q_{t} = (Q_{0}k_{1}/k_{2})\{\exp[(k_{1} + k_{2})t] - -1\}/\{1 + (k_{1}/k_{2})\exp[(k_{1} + k_{2})t]\}.$$
 (1)

Применение программы Origin позволяет методом фиттинга (fitting), т.е. подбора значений Q_0 , k_1 и k_2 , построить расчетную кривую зависимости текущей теплоты процесса Q_t от времени с минимальным отклонением расчетных значений от экспериментальных (рис. 3). В итоге результатом такого подбора является установление (выдача) значений Q_0 , k_1 и k_2 для каждой конкретной температуры эксперимента (табл. 1). Нахождение

значений коэффициентов k_1 и k_2 по интегральному уравнению или по зависимости удельной скорости реакции от степени превращения приводит к одним и тем же результатам. Установленные температурные зависимости констант скоростей представлены в виде $k_1 = 10^{11.5} \pm 0.7 \exp[(-167.9 \pm 6.9) \cdot 10^3/RT]$, c^{-1} , $k_2 = 10^{13.5} \pm 0.4 \exp[(-172.6 \pm 3.5) \cdot 10^3/RT]$, c^{-1} , R = 8.314 Дж/моль · град.

Кинетические закономерности тепловыделения при разложении Az(O)All

На рис. 4 приведены результаты по кинетике реакции термического разложения Az(O)All, полученные методами ТГ и ДСК. На кривой ДСК наблюдаются три пика — эндотермический и два экзотермических. Первый из них при температуре 125.5°C отвечает плавлению соединения, теплота этого процесса равна -47.13 Дж/г. Экзотермические пики на кривой ДСК и соответствующие потемассы отвечают процессу термического разложения. Первый экзотермический пик наблюдается при температуре 248.7°C, соответствующий ему тепловой эффект составляет 863.4 Дж/г. Второй, меньший по теплоте разложения, пик тепловыделения отмечается при температуре 326°С. При нагревании до 450°С потеря массы составила ~53%. Таким образом, в процессе разложения Az(O)All при высоких температурах в условиях открытой проточной системы образуется около 47% конденсированного продукта реакции. Этим соединение Az(O)All отличается от **AzAll**, в случае которого потеря массы близка к 100% за счет образования газообразных продуктов и испарения исходного AzAll.

Термическое превращение соединения Az(O)All в изотермических условиях в закрытой системе в отличие от AzAll протекает по более сложному кинетическому закону. Уже в низкотемпературной области 130-170 °C наблюдается экзотермическая

Таблица 1. Значения констант скоростей реакций термического превращения AzAll и Az(O)All

Параметры	Значения параметров					
AzAll						
<i>T</i> , °C	230.4	235.4	241.0	251.7		
$k_1 \cdot 10^6, \mathrm{c}^{-1}$	1.2	1.8	2.5	6.2		
$k_1 \cdot 10^6, c^{-1}$ $k_2 \cdot 10^5, c^{-1}$	3.8	5.8	9.3	20		
Az(O)All						
<i>T</i> , °C	129.5	136.1	142.3	150.0	170.2	180.6
$k_1 \cdot 10^5, \mathrm{c}^{-1}$	1.9	2.6	3.8	5.8	19	23
T, °C	174.8	180.6	185.2	190.0	199.6	209.4
$k_2 \cdot 10^5$, c ⁻¹	0.72	1.2	2.4	3.1	8.8	19
$k_2 \cdot 10^5, c^{-1}$ $k_3 \cdot 10^5, c^{-1}$	_	5.8	9.3	12	27	65

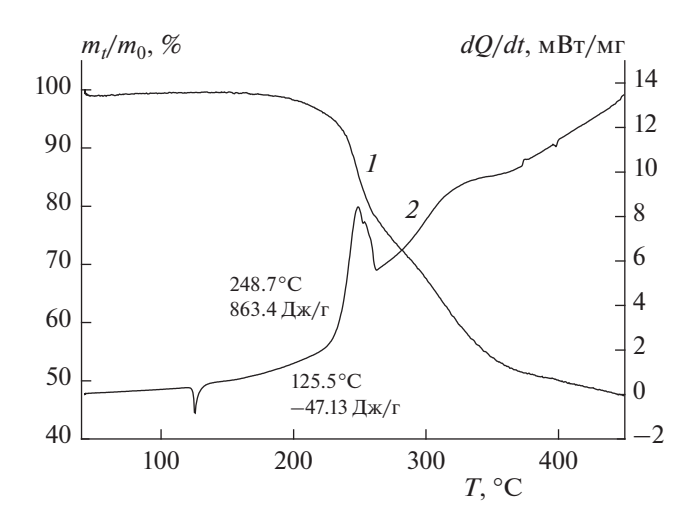


Рис. 4. Кривые ТГ(I) и ДСК (2) при термическом разложении **Az(O)All**. Масса навески ~2 мг, скорость нагрева - 5 К/мин, скорость продувки аргоном - 40 мл/мин.

реакция, протекающая в первом приближении по закону реакции первого порядка (рис. 5). Тепловой эффект реакции первого порядка, $Q_{1,0}$, составляет примерно $0.45 \, \mathrm{k} \, \mathrm{Jm}/\mathrm{r}$.

Как видно из рис. 5, некоторое отклонение кривых зависимости скорости тепловыделения от текущей теплоты процесса от линейного закона, который должен выполняться в случае реакции первого порядка, наблюдается в большей степени на больших глубинах разложения, при которых скорость тепловыделения в реакции разложения определяется с большей относительной ошибкой вследствие малых абсолютных величин самих скоростей тепловыделения.

Величины констант скоростей реакции первого порядка k_1 (табл. 1) находили аналогично с использованием программы Origin методом подбора значений $Q_{1,0}$, и k_1 при построении расчетной кривой зависимости текущей теплоты процесса Q_t от времени, задаваемой интегральным уравнением реакции первого порядка (рис. 6):

$$Q_t = Q_{1,0}[1 - \exp(-k_1 t)], \tag{2}$$

с минимальным отклонением расчетных значений от экспериментальных.

Найденная температурная зависимость константы скорости реакции первого порядка (в c^{-1}) представлена в виде

$$k = 10^{5.1 \pm 0.3} \exp\{(-76.0 \pm 2.7) \cdot 10^3 / RT\}.$$

Можно предположить, что данная реакция представляет собой термически инициированную полимеризацию по двойным связям аллильной группы. Для инициирования реакции полимеризации по аллильной группе необходимо термически инду-

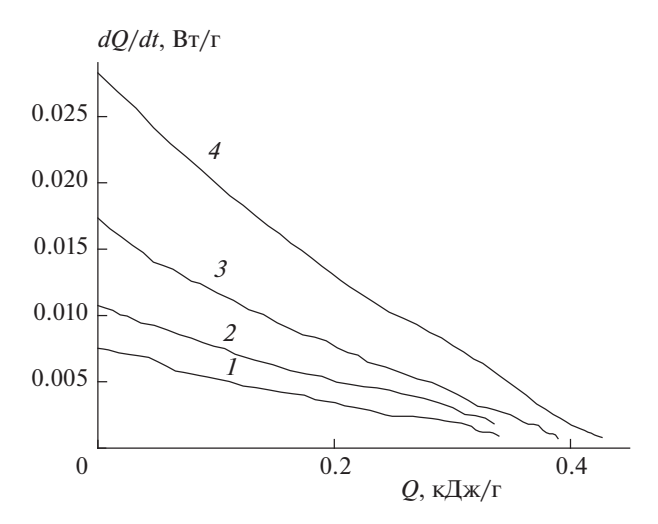


Рис. 5. Зависимость скорости тепловыделения dQ/dt от количества тепла Q_t , выделившегося к данному моменту времени, при термическом разложении соединения **Az(O)All** при различных температурах: 1-129.0; 2-136.3; 3-142.4; 4-150.0 °C.

цированное зарождение в реагирующей системе свободных радикалов. В данном случае реакцией зарождения цепи может быть раскрытие фуроксановых циклов по связи N—O с образованием бирадикальных фрагментов. Раскрытие фуроксановых циклов протекает с большими скоростями по сравнению со скоростью раскрытия фуразановых циклов, и уже в относительно низком интервале температур концентрация образующихся бирадикальных фрагментов достаточна, чтобы

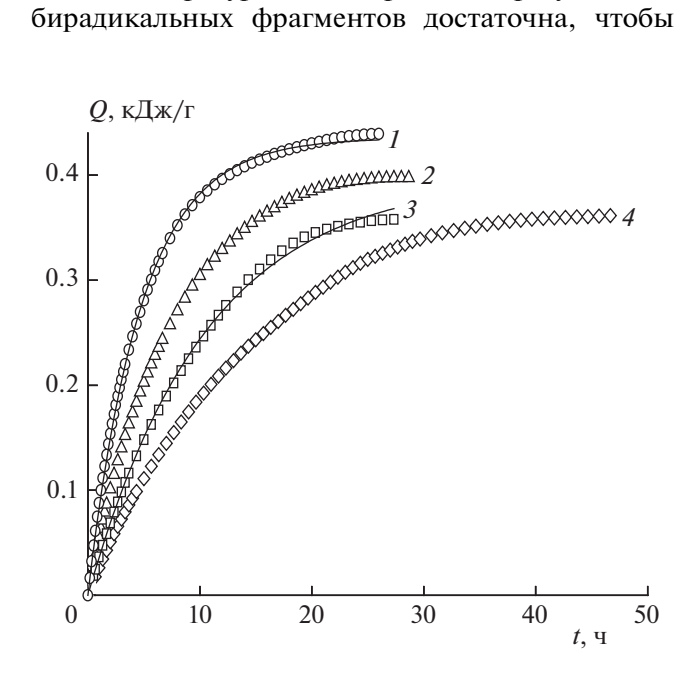


Рис. 6. Кинетические зависимости тепла Q_t , выделившегося при разложении соединения **Az(O)All**, от времени t при различных температурах: 1-129.0; 2-136.3; 3-142.4; 4-150.0 °C. Точки — эксперимент, сплошные кривые — расчет по уравнению (2).

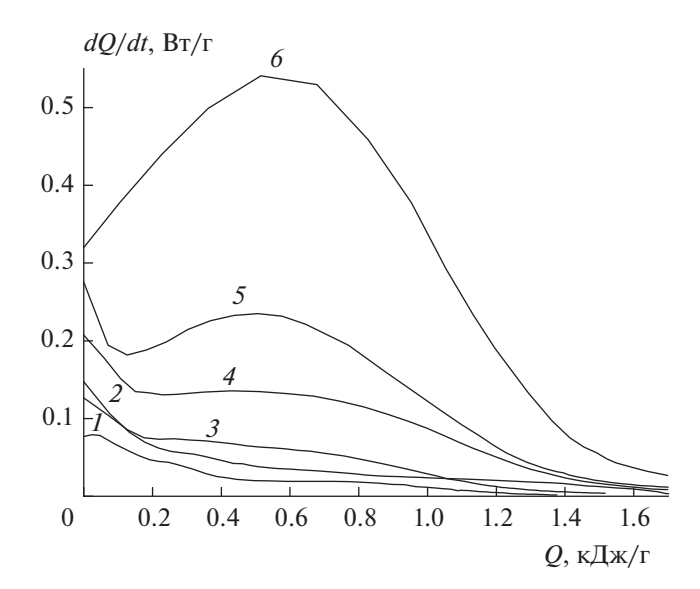


Рис. 7. Зависимость скорости тепловыделения dQ/dt от количества тепла, выделившегося к данному моменту времени Q_t , при разложении **Az(O)All** при различных температурах: I - 174.3; 2 - 180; 3 - 185; 4 - 190; 5 - 199; 6 - 209 °C.

инициировать наблюдаемую реакцию полимеризации **Az(O)All**. Раскрытие фуразановых циклов в случае **AzAll** также протекает, но в существенно более высоком интервале температур, при которых возможная реакция полимеризации, вероятно, успевает закончиться за время прогрева ампулы с веществом в калориметре и поэтому она не фиксируется на микрокалориметре. После прогрева ампулы до температуры термостата регистрируется уже скорость реакции термического разложения продукта полимеризации **AzAll** по двойной связи.

С дальнейшим повышением температуры кривая скорости тепловыделения усложняется, процесс описывается суммой двух параллельных реакций: реакции первого порядка и автокаталитической реакции первого порядка (рис. 7). В этом случае зависимость скорости тепловыделения от глубины разложения описывается уравнением

$$dQ/dt = Q_{1,\,0}k_1(1-\eta_1) + Q_{2,\,0}k_3(1-\eta_2)(\eta_2 + k_2/k_3),$$

где $\eta_1 = Q_{1, 1}/Q_{1, 0}$ — глубина реакции полимеризации 1-го порядка, $Q_{2, 0}$ — полный тепловой эффект автокаталитической реакции 1-го порядка; $\eta_2 = Q_{2, 1}/Q_{2, 0}$ — глубина автокаталитической реакции разложения 1-го порядка; k_2 , c^{-1} — константа скорости некаталитической стадии разложения; k_3 , c^{-1} — константа скорости каталитической стадии разложения.

При температуре 209 °C и выше реакция полимеризации **Az(O)All** по двойной связи так же, как и в случае **AzAll**, вероятно, успевает закончиться за время прогрева ампулы в калориметре, и затем

фиксируется только автокаталитическая реакция термического разложения образующегося продукта полимеризации **Az(O)All** по двойной связи.

По разности общей теплоты реакции в этом интервале температур (около 1.65 кДж/г) и теплоты реакции полимеризации найдено, что тепловой эффект параллельной автокаталитической реакции первого порядка при разложении продуктов полимеризации Az(O)All составляет примерно 1.2 кДж/г. Суммарная теплота термического превращения Az(O)All в закрытой системе в изотермических условиях существенно больше величины 0.86 кДж/г, измеренной в открытой системе в неизотермических условиях (рис. 4). Вероятно, это связано с сублимацией части навески вещества, а также с уносом из реакционной зоны возможного продукта реакции – двуокиси азота NO₂ с газом-носителем аргоном и уменьшением вклада в суммарную теплоту вторичных экзотермических реакций с участием NO₂.

Величины констант скоростей автокаталитической реакции разложения k_2 и k_3 (табл. 1) находили аналогичным образом с использованием программы Origin методом подбора значений $Q_{2,0}, k_2$ и k_3 при построении расчетной кривой зависимости текущей теплоты процесса Q_t от времени, задаваемой интегральным уравнением для суммы параллельных реакций: реакции полимеризации первого порядка и автокаталитической реакции разложения первого порядка

$$Q_{t} = Q_{1,0}[1 - \exp(-k_{1}t)] + (Q_{2,0}k_{2}/k_{3})\{\exp[(k_{2} + k_{3})t] - 1\}/\{1 + (k_{2}/k_{3})\exp[(k_{2} + k_{3})t]\}$$
(3)

с минимальным отклонением расчетных значений от экспериментальных (рис. 8).

Варьирование отношения величины массы навески к величине внутреннего объема ампулы m/V примерно в 2.5 раза в процессе исследования разложения соединений **AzAll** и **Az(O)All** не повлияло на величину степени автокатализа. Следовательно, скорость разложения увеличивается по ходу процесса разложения как **AzAll**, так и **Az(O)All** за счет накопления конденсированных продуктов разложения.

Выражения для температурных зависимостей констант скоростей представлены в виде

$$k_2 = 10^{14.8 \pm 0.7} \exp[(-171.4 \pm 6.4) \cdot 10^3 / RT], \text{ c}^{-1},$$

 $k_3 = 10^{13.0 \pm 0.5} \exp[(-149.7 \pm 5.3) \cdot 10^3 / RT], \text{ c}^{-1}.$

Величины константы скорости начальной реакции термического разложения при 210°С в ряду исследованных производных азепинов **Az(O)All**, **Az(O)NH₂**, **AzAll** соотносятся как 4000 : 10 : 1. За единицу принята константа скорости реакции разложения соединения **AzAll**. Термическое разложение фуроксановых и фуразановых циклов проте-

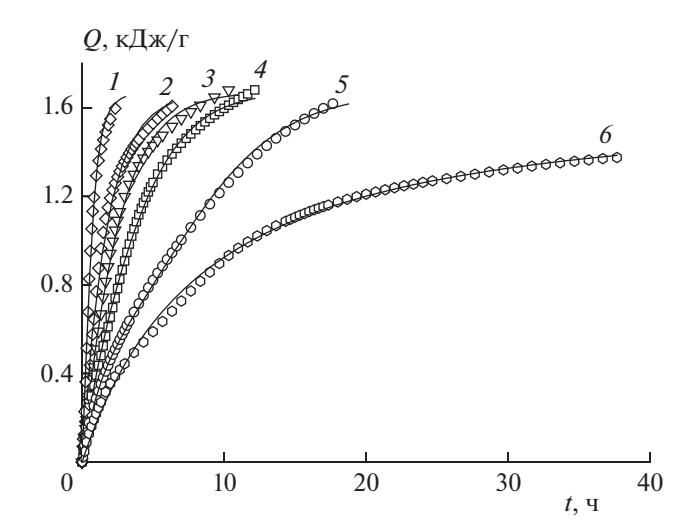


Рис. 8. Кинетические зависимости тепла Q_t , выделившегося при разложении **Az(O)All**, от времени t при различных температурах: 1-209; 2-199; 3-190; 4-185; 5-180; 6-174.3 °C. Точки — эксперимент, сплошные кривые — расчет по уравнению (3).

кает по механизму обратимого ступенчатого распада циклов с образованием бирадикальных переходных состояний [24]. Фуразановые циклы, входящие в состав молекулы AzAll, более термостабильны по сравнению с фуроксановым циклом в составе молекул $Az(O)NH_2$ и Az(O)All. Вследствие этого скорости тепловыделения при разложении AzAll фиксировались в изотермических условиях в более высоком интервале температур (230–250°C) по сравнению с температурами при исследовании **Az(O)All** (175-210°C). Дополнительно, кроме наличия в молекуле фуроксанового цикла, термическая стабильность Az(O)NH₂ снижается в сравнении с AzAll вследствие имеющейся в составе его молекулы слабой связи N-N.

Наименьшую стабильность среди сравниваемых производных азепинов имеет **Az(O)All**, подверженный при относительно низких температурах реакции термически инициированной полимеризации вследствие наличия в составе молекулы кратных связей С=С. Высокая термостабильность **AzAll** объясняется тем, что в составе молекулы нет фуроксанового цикла.

выводы

1. Разложение 7-аллил-7*H*-трифуразано[3,4-*b*:3',4'-*d*:3",4"-*f*]азепина (**AzAll**) в температурном интервале 230—250.0°С протекает с тепловыделением по закону автокаталитической реакции первого порядка. Соединение 7-аллил-7*H*-дифуразано[3,4-*b*:3',4'-*f*]фуроксано[3",4"-*d*]азепин (**Az(O)All**) в температурном интервале 130—170°С вступает в реакцию термически инициированной поли-

меризации, а при более высоких температурах 175—210°С параллельно протекают реакция полимеризации первого порядка и разложение исходного **Az(O)All** по закону автокаталитической реакции первого порядка.

- 2. Установлено, что наибольшей термической стабильностью среди исследованных производных азепинов обладает соединение **AzAll**, в состав молекулы которого входят только фуразановые циклы. Термическая стабильность производных азепинов снижается при наличии в составе их молекул менее стабильных фуроксановых циклов (у Az(O)All и $Az(O)NH_2$) и слабой связи N-N (у Az(O)NH₂). Наименьшую термостабильность имеет соединение **Az(O)All**, которое при относительно низких температурах подвергается реакции термически инициированной полимеризации. Величины константы скорости начальной реакции термического превращения при 210°C в ряду исследопроизводных азепинов Az(O)All, (полимеризация), Az(O)NH₂ (разложение), AzAll (разложение) соотносятся как 4000: 10: 1.
- 3. Установлено, что температуры плавления и теплоты плавления для соединений **AzAll** и **Az(O)All** составляют 117.3°C, -65.38 Дж/г и 125.5°C, -47.13 Дж/г соответственно.

Работа выполнена по темам госзадания № AAAA-A19-119101690058-9 и № AAAA-A19-119120690042-9.

СПИСОК ЛИТЕРАТУРЫ

- Klapötke T.M. Chemistry of High-Energy Materials. 3rd ed. Berlin: De Gruyter, 2015.
- Churakov A.M., Ioffe S.L., Tartakovsky V.A. // Mendeleev Commun. 1995. V. 5. № 6. P. 227; https://doi.org/10.1070/MC1995v005n06ABEH000539
- 3. *Klenov M.S.*, *Guskov A.A.*, *Anikin O.V. et al.* // Angew. Chem. Intern. Ed. 2016. V. 55. № 38. P. 11472; https://doi.org/10.1002/anie.201605611
- 4. Sheremetev A.B., Kulagina V.O., Aleksandrova N.S. et al. // Propellants Explos. Pyrotech. 1998. V. 23. P. 142.
- Chavez D.E. // Topics in Heterocyclic Chemistry (Eds. Larionov O.V.). Berlin: Springer, 2017. V. 53. P. 1; https://doi.org/10.1007/7081_2017_5
- Churakov A.M., Ioffe S.L., Tartakovsky V.A. // Mendeleev Commun. 1996. V. 6. № 1. P. 20; https://doi.org/10.1070/MC1996v006n01ABEH000560
- 7. *Wei H., Gao H., Shreeve J.M.* // Chem. Eur. J. 2014. V. 20. № 51. P. 16943; https://doi.org/10.1002/chem.201405122
- 8. *Chavez D.E.*, *Parrish D.A.*, *Mitchell L.*, *Imler G.H.* // Angew. Chem. Intern. Ed. 2017. V. 56. № 13. P. 3575; https://doi.org/10.1002/anie.201612496
- 9. *Наир У.Р., Сибавалан Р., Гор Г.М. и др. //* Физика горения и взрыва. 2005. Т. 41. № 2. С. 3.
- 10. Захаров В.В., Чуканов Н.В., Шилов Г.В. и др. // Хим. физика. 2021. Т. 40. № 7. С. 35; https://doi.org/10.31857/S0207401X21070128

- 11. *Xia C., Zheng C., Zhang T. et al.* // Chin. J. Energetic Mater. 2015. V. 23. № 11. P. 1089; https://doi.org/10.11943/j.issn.1006-9941.2015.11.010
- 12. *Zhang J., Zhou J., Bi F., Wang B.* // Chin. Chem. Lett. 2020. V. 31. № 9 P. 2375; https://doi.org/10.1016/j.cclet.2020.01.026
- 13. Степанов А.И., Астратьев А.А., Дашко Д.В. и др. // Изв. АН. Сер. хим. 2012. № 5. С. 1019.
- Astrat'ev A.A., Dashko D.V., Stepanov A.I. // Cent. Eur. J. Chem. 2012. V. 10. № 4. P. 1087; https://doi.org/10.2478/s11532-012-0020-7
- 15. Stepanov A.I., Dashko D.V., Astrat'ev A.A. // Cent. Eur. J. Energetic Mater. 2012. V. 9. № 4. P. 329.
- 16. Гончаров Т.К., Алиев З.Г., Алдошин С.М. и др. // Изв. АН. Сер. хим. 2015. № 2. С. 366; https://doi.org/10.1007/s11172-015-0870-1
- 17. Яновский Л.С., Лемперт Д.Б., Разносчиков В.В., Аверьков И.С. // Журн. прикл. химии 2019. Т. 92. № 3. С. 322; https://doi.org/10.1134/S0044461819030071

- 18. *Лемперт Д.Б., Игнатьева Е.Л., Степанов А.И. и др. //* Хим. физика. 2023. Т. 42. № 2. С. 3.
- 19. *Казаков А.И.*, *Лемперт Д.Б.*, *Набатова А.В. и др. //* Журн. прикл. химии. 2019. Т. 92. № S13. С. 1657; https://doi.org/10.1134/S0044461819130036
- 20. Зюзин И.Н., Гудкова И.Ю., Лемперт Д.Б. // Хим. физика. 2020. Т. 39. № 9. С. 52; https://doi.org/10.31857/S0207401X20090149
- 21. *Гудкова И.Ю., Зюзин И.Н., Лемперт Д.Б.* // Хим. физика. 2020. Т. 39. № 3. С. 53; https://doi.org/10.31857/S0207401X20030061
- 22. Сорокин В.А., Яновский Л.С., Арефьев К.Ю. и др. Прямоточные воздушно-реактивные двигатели на энергоемких конденсированных материалах. М.: ЦИАМ, 2020.
- 23. Гальперин Л.Н., Колесов Ю.Р., Машкинов Л.Б., Тернер Ю.Э. // Труды шестой Всесоюзной конференции по калориметрии. Тбилиси: Мецниереба, 1973. С. 539.
- 24. *Манелис Г.Б., Назин Г.М., Рубцов Ю.И., Струнин В.А.* Термическое разложение и горение взрывчатых веществ и порохов. М.: Наука, 1996.